

## تحلیل آسیب‌پذیری و بهسازی سیستم دال و دیوار بتّنی به روش ایستای غیرخطی

محسن نهادی‌زاده (استاد)

سید عزیز زاده \* (دانشجوی کارشناسی ارشد)  
دانشکده هندسی عمران و محیط زیست، دانشگاه صنعتی امیرکبیر

سیستم دال و دیوار بتّنی درجا از سیستم‌های متناول در ایران و سایر نقاط جهان است که به عملکرد مناسب آن در زلزله‌های گذشته، کاربردش گسترده‌گی بیشتر یافته است. در دستورالعمل‌های مربوط به ارزیابی آسیب‌پذیری، عموماً برای سازه‌های موجود از این دست رویکرد جداگانه‌یی مनظور شده است. بدليل موجود نبودن استانداردهای ویژی این ساختمان‌ها و کمبود اطلاعات درمورد نحوه ارزیابی عملکرد لزیبی با در نظر گرفتن امکان ایجاد رفتار غیرخطی در دیوار، انجام مطالعات کاربردی بهسازی روی سیستم دال و دیوار از اهمیت خاصی برخوردار است. در این نوشتار برای بررسی دقیق‌تر عملکرد سیستم، از روش استاتیکی غیرخطی بهجای روش‌های ساده‌تر و غیرواقعی تری که رفتار دیوار را تنها در حالت خطی در نظر می‌گیرند، بهره گرفته شده است. بررسی سازه‌های دال و دیوار با پلان متقارن و طراحی اولیه براساس استاندارد ۲۸۰۰ ایران در سازه‌های ۴، ۸ و ۱۲ طبقه با هدف بهسازی مطلوب دستورالعمل بهسازی لزیبی انجام گرفته و برای اجرای تحلیل‌های غیرخطی، از نرم‌افزار ۳D Ram Perform استفاده شده است.

m.teh.2008@gmail.com  
azizzadeh\_1363@yahoo.com

وازگان کلیدی: ارزیابی آسیب‌پذیری، تحلیل ایستای غیرخطی، سیستم دال و دیوار بتّنی، المان رشته‌یی.

### مقدمه

سیستم سازه‌یی دال و دیوار که در این تحقیق مورد بررسی قرار می‌گیرد، فقط دال‌ها و دیوارهای سازه‌یی را برای حمل تمامی بارهای ثقلی و جانی شامل می‌شود و در آن اعضای تیر و ستون حذف شده‌اند. مطالعات آسیب‌پذیری محدودی که روی این سیستم انجام گرفته، اکثر محدود به بررسی‌های خطی اند یا روش‌های غیرخطی مطالعاتی در آن‌ها کاربردی نبوده است. با این حال عملکرد مطلوب این سازه‌ها در زلزله‌های گذشته نیازمند مطالعاتی دقیق‌تر در این رابطه است تا بتوان از این طریق، و با شناخت سطح عملکردی سیستم، آن‌ها را به عنوان گزینه‌یی مناسب در ساخت و سازها مطرح کرد (شکل ۱).

فعالیت‌های علمی درخصوص ارزیابی آسیب‌پذیری ساختمان‌ها از سال‌های اولیه‌ی دهی هفتاد آغاز شده و تا امروز نیز ادامه دارد. ارزیابی ساختمان‌های موجود و راهکارهای بهسازی لزیبی برای بهبود عملکرد آن‌ها به نگام زلزله تا رسیدن به سطح عملکرد مطلوب فرایندی است که براساس آن می‌توان عملکرد مناسب تعریف شده برای سازه را انتظار داشت. برای این مانظور انجام تحلیل‌های غیرخطی روی سیستم مورد مطالعه ضرورت می‌یابد.

تحلیل ایستای غیرخطی را می‌توان برای هر سازه و هر هدف بهسازی به کار گرفت. در این تحلیل، بار جانی ناشی از زلزله به صورت ایستا و افزایشی به سازه

### معرفی ساختمان‌های مورد مطالعه و مشخصات تحلیل غیرخطی

پلانتی که برای مدل‌سازی سیستم دال و دیوار بتّنی درجا در سازه‌های ۴، ۸ و ۱۲ طبقه انتخاب شده، مربوط به ساختمانی واقعی با کاربری اداری است که توسط

\* نویسنده مسئول

تاریخ: دریافت ۳۱، ۱۳۸۸/۶/۱، اصلاحیه ۲۸، ۱۳۸۹/۷/۵ .

جدول ۱. مشخصات مصالح مصرفی.

$E_s$ (GPa)	$F_y$ (MPa)	$E_c$ (GPa)	$f'_c$ (MPa)	مان سازه‌بی
۲۱۰	۴۰۰	۲۵	۲۸	دیوار و دال بتنی

جدول ۲. بارگذاری موجود بر حسب تن بر مترمربع.

تراز	بار مرده (بدون اختساب مقاطع بتنی دال و دیوار)	بار زنده
۰/۱۵	۰/۳	بام
۰/۲۵	۰/۳۵	طبقات



شکل ۱. نمونه‌هایی از سیستم دال و دیوار پس از زلزله Bingol (۲۰۰۳) که دچار آسیب نشده‌اند.

مشخصات مصالح مصرفی و بارگذاری در جداول ۱ و ۲ آورده شده است. یکی از نکات مهم در ساخت مدل غیرخطی آن است که المان انتخاب شده باید رفتار غیرخطی عضو را تا حد امکان مشابه واقعیت شیوه‌سازی کند. در بیشتر نرم‌افزارهای کاربردی مانند SAP و ETABS، المان مجزایی برای در نظر گرفتن رفتار غیرخطی دیوارهای برشی وجود نداشته و از معادل سازی آن با المان‌های قابی استفاده می‌شود که این روش‌ها برای سیستم دال و دیوار، عمدتاً با مشکلات بسیاری همراه است و نتایج مناسبی در بر نخواهد داشت. برای اساس، در این نوشتار برای مدل سازی و تحلیل غیرخطی دیوارهای برشی از المان‌های Shear Wall نرم‌افزار Perform ۴.۰.۱ ۳D استفاده شده است. این المان مقطع دیوار را به صورت مجموعه‌یی از فیبرها در نظر می‌گیرد و با این روش تحلیل غیرخطی دیوار را به صورت مستقیم ممکن می‌سازد.<sup>[۱]</sup>

مطلوب بعدی مد نظر قرار دادن ارتفاعی از دیوار است که برای آن امکان رفتار غیرخطی در نظر گرفته می‌شود.<sup>[۲]</sup> برای تعیین ارتفاعی که معادل طول غیرخطی در نظر گرفته شده برای دیوار است، می‌توان از روابط موجود در زمینه‌ی طول مفصلی دیوار، نظیر رابطه‌ی ارائه شده توسط پائولی و پریستلی،<sup>[۳]</sup> استفاده کرد:

$$L_p = 0.2 D_w + 0.44 h_e \quad (1)$$

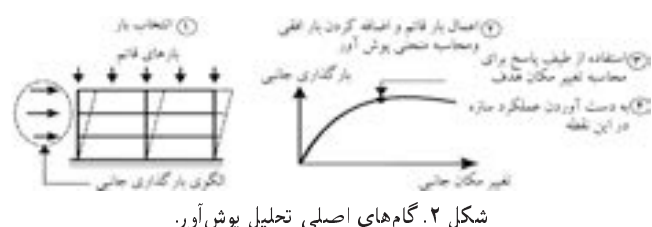
$$0.3 D_w < L_p < 0.8 D_w \quad (2)$$

که در آن  $L_p$  طول مفصلی،  $D_w$  عمق مقطع عرضی و  $h_e$  ارتفاع مؤثر دیوار است. چنانچه طول دیوار از ارتفاع نخستین طبقه ( $h_1$ ) برابر  $\frac{h_1}{6}$  باشد، در رابطه‌ی ۳ به جای  $D_w$  باید مقدار  $h_1/6$  را جایگزین کرد. یعنی خواهیم داشت:

$$0.48 h_1 < L_p = 0.32 h_1 + 0.44 h_1 \quad (3)$$

همچنین مطابق دستورالعمل بهسازی لرزه‌بی ایران، می‌توان این طول را دست‌کم معادل نصف طول دیوار و ارتفاع طیقه در نظر گرفت. اگر تعداد دیوارها زیاد و محاسبات سنگین باشد، انتخاب مناسب این طول در بهینه‌سدن زمان و میزان تحلیل‌ها مؤثر خواهد بود. در این نوشتار اما، با توجه به محدود بودن تعداد دیوارها، برای کل ارتفاع دیوار امکان ایجاد رفتار غیرخطی در نظر گرفته شده است.

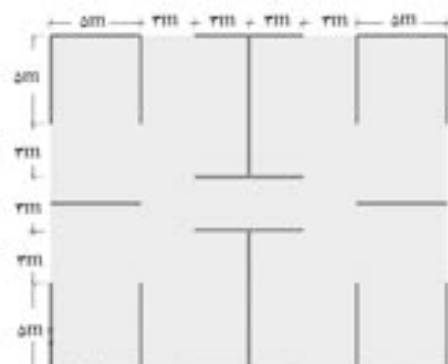
چنان که ذکر شد، هدف بهسازی در نظر گرفته شده برای ساختمان‌های مدل سازی شده، بهسازی مطلوب مطابق دستورالعمل بهسازی لرزه‌بی است.<sup>[۴]</sup> در این حالت انتظار می‌رود تحت زلزله سطح خطر یک ایمنی جانی ساکنین تأمین شود؛ همچنین تحت زلزله سطح خطر دو ساختمان فرو نریزد. بنابراین، محاسبات برای دو سطح خطر ۴۷۵ ساله و ۲۴۷۵ ساله انجام، و دو سطح عملکرد سازه‌بی مجزای سطح ایمنی جانی (LS) و آستانه‌ی فروریزی (CP) به منظور مشخص کردن مقدار آسیب،



شکل ۲. گام‌های اصلی تحلیل پوش آور.

نرم‌افزار ETABS ۹.۱.۶ و براساس ویرایش سوم استاندارد ۲۸۰۰ ایران تحلیل و مطابق آین نامه‌ی ACI ۲۰۰۵ طراحی شده است.

برای ساده‌سازی مدل، بازشوی دیوارها حذف شده است. ارتفاع طبقات برابر ۳/۳ متر و زیربنای هر طبقه حدود ۴۱۸ متر مربع است. سیستم مقاوم این ساختمان به صورت دال و دیوار دوطرفه بوده و تعداد ۲۴ دیوار سازه‌بی در پلان تعییه شده است. ضخامت دال کف ۱۵/۰ متر و دیافراگم کف صلب در نظر گرفته شده است. در شکل ۳ پلان عمومی طبقات نشان داده شده است.

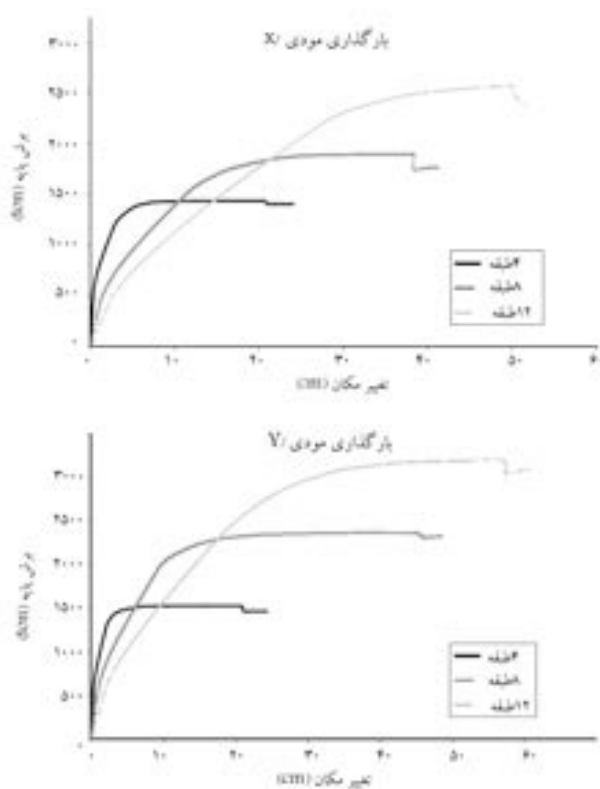


شکل ۳. پلان سازه‌بی و جاگذاری دیوارها.

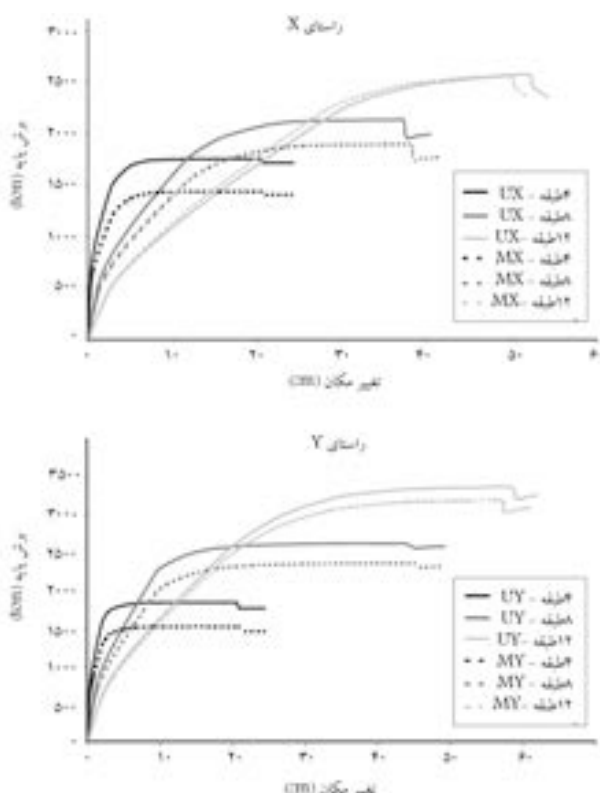
جدول ۳. شرایط حدی مربوط به کرنش مصالح فولادی و بتنی.<sup>[۶]</sup>

مصالح	CP	LS
فولاد	۰,۰۵	۰,۰۴
بتن	۰,۰۰۳۵	۰,۰۰۲۶

خسارت اقتصادی و خرابی برای ساختمان تعریف شده است. معیارهای پذیرش در نظر گرفته شده برای هر یک از این سطوح در جدول ۳ مشخص شده است. با توجه به این که جرم مشارکت‌کننده در مود اول از ۷۵٪ کمتر است، توزیع نوع اول بر جانبه توسعه متناسب با نیروهای جانبی حاصل از تحلیل دینامیکی خطی طیفی در نظر گرفته می‌شود. برای توزیع نوع دوم توزیع یکنواخت انتخاب می‌شود.



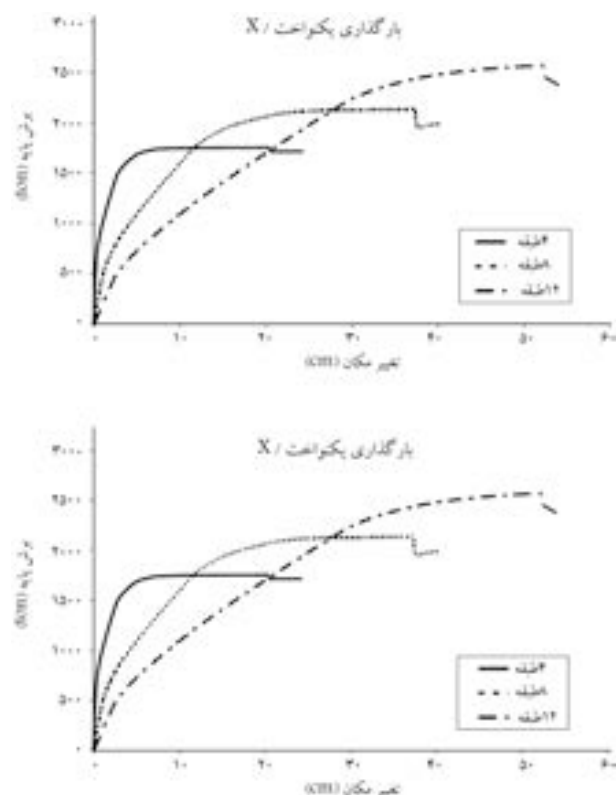
شکل ۵. منحنی ظرفیت راستای Y.



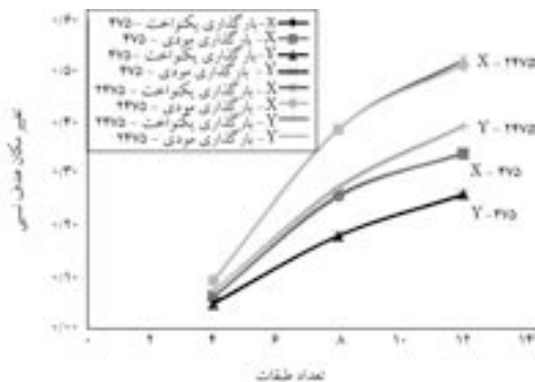
شکل ۶. مقایسه منحنی ظرفیت مربوط به دو الگوی بار جانبی.

### منحنی‌های ظرفیت و محاسبه‌ی تغییر مکان هدف

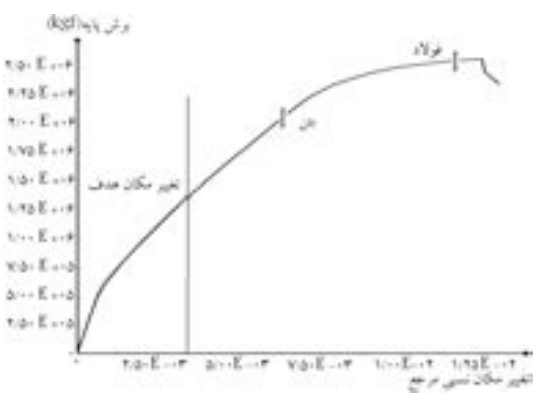
نتایج تحلیل ایستای غیرخطی به صورت منحنی جایه‌جایی نقطه‌ی کنترل سازه (تازه بام) به ازای مقادیر مختلف نیروی برشی پایه به دست می‌آید. این منحنی که به «منحنی ظرفیت سازه» معروف است، بیان‌گر قابلیت سازه در تحمل نیروهای جانبی ناشی از زلزله است. در شکل‌های ۴ تا ۶ منحنی‌های ظرفیت مطابق دستورالعمل بهسازی لرزه‌ی برای دو توزیع بار جانبی رسم شده است. با توجه به این که نتایج حاصله برای ترکیب بار نقلی بیشینه بالاتر از ترکیب بار نقلی کمینه به دست آمد، به ارائه‌ی نتایج مربوط به حالت اول در سطح خطر ۴۷۵ ساله اکتفا می‌شود.



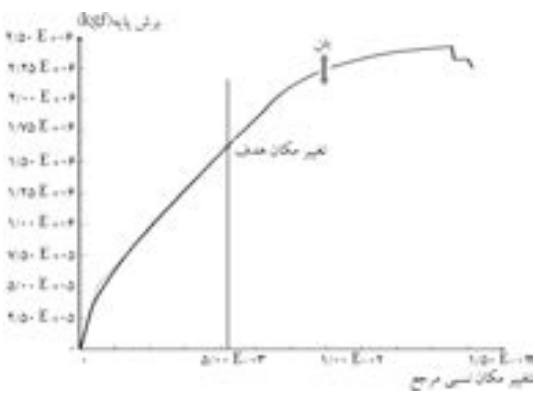
شکل ۴. منحنی ظرفیت راستای X.



شکل ۸. مشاهده‌ی تغییرات در تغییر مکان هدف نسبی.



شکل ۹. وضعیت حدود سطح LS نسبت به تغییر مکان هدف روی منحنی ظرفیت در سطح خطر یک.



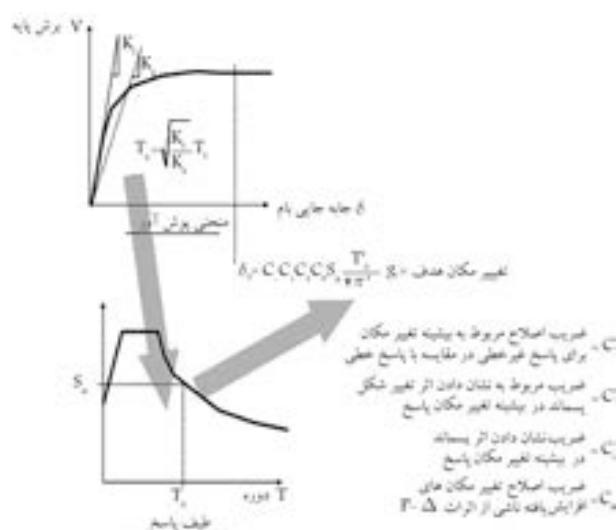
شکل ۱۰. وضعیت حدود سطح CP نسبت به تغییر مکان هدف روی منحنی ظرفیت در سطح خطر یک.

همان‌طور که در نمودارهای ترسیمی مشاهده می‌شود، منحنی‌های ظرفیت سازه برای دو نوع توزیع بارگذاری مشابه یکدیگر بوده و مطابق انتظار، سطح زیر منحنی ظرفیت در روش توزیع یکنواخت -- نسبت به روش توزیع نمایی -- مقادیر بیشتری دارد؛ چرا که در حالت توزیع یکنواخت، با فرض برش پایه‌ی یکسان اثرات لنگر در پای سازه کمتر خواهد بود. با افزایش تعداد طبقات، ظرفیت بارگذاری جانی (مساحت زیر منحنی ظرفیت) افزایش دارد ولی سختی اولیه (شیب اولیه منحنی ظرفیت) کاهش یافته است. همچنین نتایج مربوط به راستای Y بالاتر از راستای X بدست آمده که علت آن بالاتر بودن چگالی دیوارهای برشی در راستای Y و قوی‌تر بودن سازه‌ها در این راستاست.

برای محاسبه‌ی تغییر مکان هدف از روش ضرایب دستورالعمل FEMA ۳۵۶ استفاده شده است. طرح شماتیک روند بدست آوردن تغییر مکان هدف با روش تخمین ضرایب در شکل ۷ نشان داده شده است.

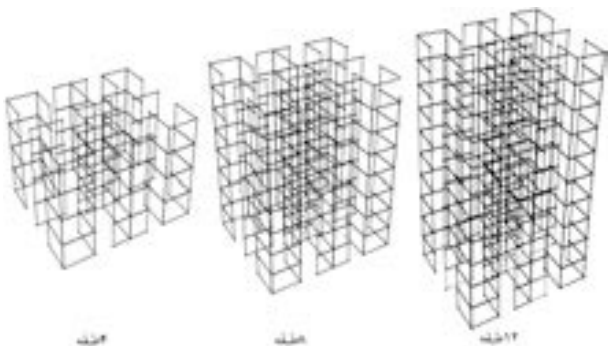
تغییر مکان‌های هدف نسبی محاسبه شده به روش ضرایب برای دو سطح خطر لرزه‌یی در جدول ۴ خلاصه شده است. نمودار شکل ۸ نیز تغییرات آن را برای تعداد طبقات مختلف نمایش می‌دهد.

روند افزایش تغییر مکان هدف با بالارفتن تعداد طبقات و نیز افزایش آن برای سطح خطر لرزه‌یی دو نسبت به سطح خطر لرزه‌یی یک به خوبی در این نمودار مشخص شده است. دو الگوی توزیع بار جانی نیز به درستی با هم مطابقت دارند.

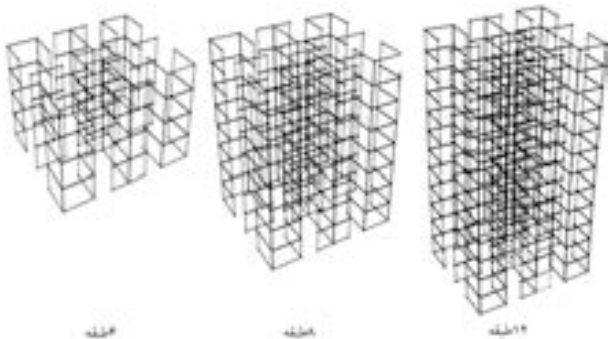


جدول ۴. خلاصه نتایج مربوط به تغییر مکان هدف سازه‌های دال و دیوار.

سطح خطر لرزه‌یی دو		سطح خطر لرزه‌یی یک		تعداد طبقات
Y	X	Y	X	
بارگذاری یکنواخت	بارگذاری مودی	بارگذاری یکنواخت	بارگذاری مودی	۴
۰,۰۷	۰,۰۷	۰,۰۹	۰,۰۹	
۰,۲۷	۰,۲۸	۰,۳۹	۰,۳۹	۸
۰,۳۹	۰,۳۹	۰,۵۱	۰,۵۲	۱۲
		۰,۲۶	۰,۲۶	
		۰,۳۴	۰,۳۴	

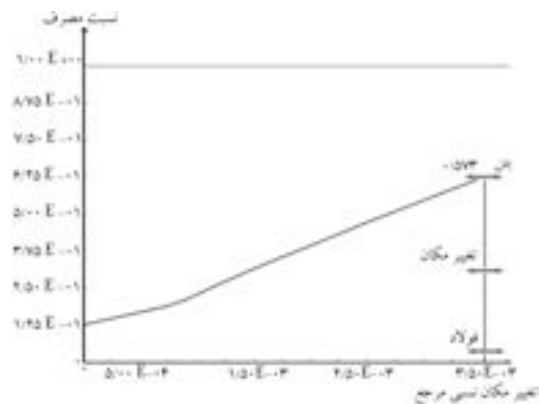


شکل ۱۳. نسبت مصرف المان‌های دیوار در سطح خطر یک برای عملکرد LS.

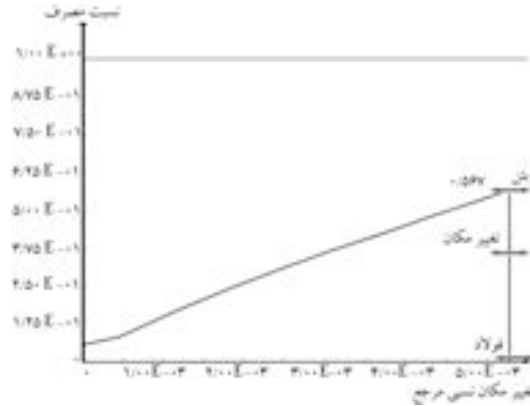


شکل ۱۴. نسبت مصرف المان‌های دیوار در سطح خطر دو برای عملکرد CP.

همان‌طورکه مشاهده می‌شود دیوارهایی که وارد حالت غیرخطی شده‌اند، محدود به پای دیوارهای طبقات اولیه است. بنابراین هدف بهسازی بهینه به‌سادگی در این سیستم تأمین می‌شود.



شکل ۱۱. نمودار نسبت مصرف بر حسب تغییر مکان نسبی در عملکرد LS برای سطح خطر یک.



شکل ۱۲. نمودار نسبت مصرف بر حسب تغییر مکان نسبی در عملکرد CP برای سطح خطر دو.

عملکرد سازه در نقطه‌ی تغییر مکان هدف مورد مطالعه قرار گرفته که نتایج آن در ادامه ارائه می‌شود.

### نتیجه‌گیری

منحنی‌های ظرفیت حاصل از دو توزیع بار جانبی تطابق مناسبی دارند، چراکه عملکرد این سازه‌ها مودهای اولیه غالب بوده و اثرات ترکیب آن با مودهای بالاتر چندان تأثیرگذار نیست. ظرفیت و سختی اولیه در روش توزیع یکنواخت نسبت به روش توزیع نسبی مقادیر بیشتری دارد؛ چراکه با پایین تر آمدن موقعیت برآیند نیروهای جانبی در حالت توزیع یکنواخت، با فرض برش پایه‌ی یکسان اثرات لنگر در پای سازه کم تر خواهد بود. از مزیت‌های دیوارهای برشی بلند، اعمال یکنواختی تغییر شکل و پیوستگی در فرم سازه است که باعث رویداد تخریب و جابه‌جای نسبی یکنواخت می‌شود. متوسط ضریب رفتار مربوط به طراحی در حالت نتش مجاز حاصل شده از روش ایستای غیرخطی برای این سیستم  $6,83$  به دست آمده که از مقدار منظور شده در استاندارد  $2800$  — یعنی مقدار  $6$  — بالاتر است. در نهایت نتایج تحلیل آسیب‌پذیری در این نوشتار نشان می‌دهد که سیستم‌های دال و دیواری که براساس استاندارد  $2800$  ایران طراحی شده‌اند، برای سطح خطر لرزه‌ی یک — سطح عملکرد ایمنی جانی — و در سطح خطر لرزه‌ی دو — سطح عملکرد آستنی فروریزی — به خوبی جواب‌گو بوده و هدف بهسازی مطلوب را برآورده می‌سازد. این سیستم با توجه به عملکرد مطلوب و سایر مزایایی که دارد، می‌تواند گزینه‌ی مناسبی برای ساخت سازه‌های مقاوم در برابر زلزله باشد.

### نتایج تحلیل آسیب‌پذیری

کنترل سطح عملکرد LS برای سطح خطر یک، و CP برای سطح خطر دو در هریک از حالات ایستای غیرخطی انجام شده است. چنان‌که در شکل‌های  $9$  و  $10$  برای ساختمان  $12$  طبقه نشان داده، در تمامی موارد حالات حدی بعد از تغییر مکان هدف واقع شده و نسبت ظرفیت آن‌ها در تغییر مکان هدف کم تراز یک است. نمودار نسبت مصرف  $1$  بر حسب تغییر مکان نسبی با مسازه  $12$  طبقه نیز در شکل‌های  $11$  و  $12$  ترسیم شده است. چنان‌که مشاهده می‌شود، این نسبت با اختلاف نسبتاً زیاد، کم تراز  $1$  است. لذا این سیستم جواب‌گوی این سطوح است. منظور از «نسبت مصرف» در این نوشتار، بنا به هر مورد، نسبت نیرو یا نتش یا تغییر مکان موجود به نیرو یا نتش یا تغییر مکان قبل تحمل مقطع در هر سطح عملکردی است که بر مبنای  $1$  مقیاس شده است تا قابلیت مقایسه و نمایش آن‌ها روی یک نمودار فراهم شده و وضعیت مربوط به هریک از حدود کنترلی نسبت به وضعیت سایر حدود مشخص شود.

وضعیت نسبت مصرف المان‌های دیوار برشی در این سطوح برای حالات بحرانی‌تر در شکل‌های  $13$  و  $14$  دیده می‌شود.

## پانوشت

- usage ratio

## منابع

- Iranian Code of Practice for Seismic Resistant Design of Buildings, Standard No. 2800-05, 3rd Edition, Building and Housing Research Center (2005).
- Structural Engineering Software, Ram International, Ram Perform User Guide 3D-Ver 4.0.1 (2006).

- Structural Engineering Software, Ram International, Ram Perform 3D-Ver 4.0.1 Components and Element (2006).
- Paulay, T. and Priestley, N., *Seismic Design Of Reinforced Concrete & Masonry Buildings*, Wiley, pp. 142-145 (1992).
- Instruction for Seismic Rehabilitation of Existing Buildings, Office of Deputy for Technical Affairs, Technical Criteria Codification & Earthquake Risk Reduction Affairs Bureau, No. 360, (2007).
- ATC, Seismic Evaluation and Retrofit of Concrete Buildings (ATC-40, Vol. 1 & Vol. 2 (Appendices)), Applied Technology Council, Redwood City, California (1996).